

- [3] Seguin H.J.J., С ар j а с k C.E., A n t o -
n i u k D., N a m K.A. - Appl. Phys. Lett., 1980,
v. 37, N 2, p. 130-133.
- [4] H a r r y J.E., E v a n s D.R. - J. Appl. Phys.,
1987, v. 62, N 12, p. 4708-4711.
- [5] К о р о л е в Ю.Д., М е с я ц Г.А., Х у з е е в А.П. - ДАН
СССР, 1980, т. 253, № 3, с. 606-609.
- [6] А к и ш е в Ю.С., Н е п а р т о в и ч А.П., П а ш к и н С.В.
и др. - ТВТ, 1984, т. 22, № 2, с. 201-207.
- [7] Д о б р е ц о в Л.Н., Г о м о ю н о в а М.В. Эмиссионная
электроника. М.: Наука, 1966, 564 с.
- [8] Ж у р а в л е в Б.В., Н а п а р т о в и ч А.П., П а л ь А.Ф.
и др. - ФП, 1988, т. 14, № 2, с. 233-240.

Поступило в Редакцию
18 июля 1988 г.

Письма в ЖТФ, том 14, вып. 22

26 ноября 1988 г.

ИНТЕГРАЛЬНАЯ ДОПЛЕРОВСКАЯ АНЕМОМЕТРИЯ

В.Л. К о н о н е н к о, Я.К. Ш и м к у с

Лазерная доплеровская анемометрия является эффективным мето-
дом изучения гидродинамических течений [1]. Однако существенным
недостатком метода оказывается в ряде случаев локальный прин-
цип измерений, требующий пространственного сканирования потока
для регистрации профиля скоростей. Это особенно неудобно в случае
узких каналов или тонких пленок жидкости с поперечными размера-
ми порядка десятков-сотен микрон, а также при изучении нестацио-
нарных течений. В работах [2, 3] был теоретически рассмотрен
альтернативный, интегральный подход к доплеровской анемометрии.
Предполагалось, что размеры рассеивающего объема превышают по-
перечные размеры канала, так что регистрируемый доплеровский
спектр должен содержать информацию о всем профиле скоростей по-
тока в этом объеме. В настоящей работе экспериментально доказа-
на осуществимость интегральной доплеровской анемометрии (ИДА)
и показана возможность двух ее режимов: регистрации поперечного
профиля скоростей течения и поперечного профиля концентрации час-
тиц в потоке.

Измерительная установка собрана по дифференциальной оптиче-
ской схеме [1]. Луч He-Ne лазера расщепляется на два луча, сим-
метричных относительно оптической оси установки, которые затем
сводятся в одну точку общей линзой. Угол между лучами равен
 $\sim 0,2$ рад, размеры эллипсоида рассеивающего объема в области пе-
ресечения гауссовых лазерных пучков [1] $\sim 800 \times 80 \times 80$ мкм³. Ось
гидродинамического канала расположена перпендикулярно оптической

оси в плоскости лазерных лучей, в центре рассеивающего объема. Рассеянное излучение собирается фотообъективом с угловой апертурой ~ 0.1 рад на фотодиод или ФЭУ. Сигнал фотоприемника после усиления в диапазоне 100 Гц – 10 кГц подается на анализатор спектра, работающий в реальном масштабе времени, с накоплением и усреднением до 1024 амплитудных фурье-спектров сигнала. Регистрировались интегральные доплеровские спектры ламинарного течения разбавленных (10^5 – 10^7 частиц см^{-3}) водно-солевых суспензий частиц латекса диаметром ~ 1 мкм, а также эритроцитов, в плоских и круглых каналах со стеклянными стенками, при скоростях потока 0.3–0.5 $\text{см}\cdot\text{с}^{-1}$ и числах Рейнольдса $Re = 0.5$ –4.2.

Для формы интегрального доплеровского спектра $S(\omega)$ имеем [2]:

$$S(\omega) = \text{const} \cdot \int \frac{n(x, y) J(x, y)}{[\omega - q_z v_z(x, y)]^2 + \gamma^2} dx dy. \quad (1)$$

Здесь $v_z(x, y)$ – профиль скоростей течения в канале (ось z совпадает с осью канала, $v_x = v_y = 0$), $n(x, y)$ – профиль концентрации частиц в потоке, q_z – проекция волнового вектора рассеяния света, γ – коэффициент, определяющий уширение доплеровской линии. $J(x, y)$ – распределение освещенности в рассеивающем объеме [1]. Интегрирование ведется по поперечному сечению канала. При $\gamma \ll q_z v_z$ порецовский контур доплеровской линии в интеграле (1) переходит в δ -функцию и интегрирование упрощается. Для одномерного течения, при $J(x, y) = \text{const}$, получим:

$$S(\omega) = \text{const} \cdot \frac{n\{x(\omega)\}}{\frac{\partial}{\partial x} v_z\{x(\omega)\}} = \text{const} \cdot q_z \cdot n\{x(\omega)\} \cdot \frac{\partial x(\omega)}{\partial \omega}. \quad (2)$$

Здесь $x(\omega)$ – функция, обратная функции $\omega(x) = q_z v_z(x)$, определяющей профиль скоростей и доплеровских частот течения. В случае параболического течения в канале шириной $2h$ $v_z(x) = v_0 \cdot (1 - x^2/h^2)$, так что

$$S(\omega) = \text{const} \cdot n \left\{ h \sqrt{1 - \frac{\omega}{q_z v_0}} \right\} \cdot \left(1 - \frac{\omega}{q_z v_0}\right)^{-1/2}, \quad 0 \leq \omega \leq q_z v_0. \quad (3)$$

Формулы (1)–(3) показывают, что при заданном распределении освещенности форма интегрального доплеровского спектра определяется как профилем скоростей течения, так и профилем концентрации рассеивающих частиц. Соответственно, возможны два режима измерений: 1) профиля скоростей течения – при условии однородного распределения частиц в потоке, $n(x, y) = \text{const}$; 2) профиля концентрации частиц – в случае априорно известного или заранее измеренного профиля скоростей течения. Как видно из (2), эти режимы наиболее просты в реализации при малой ширине доплеровских линий.

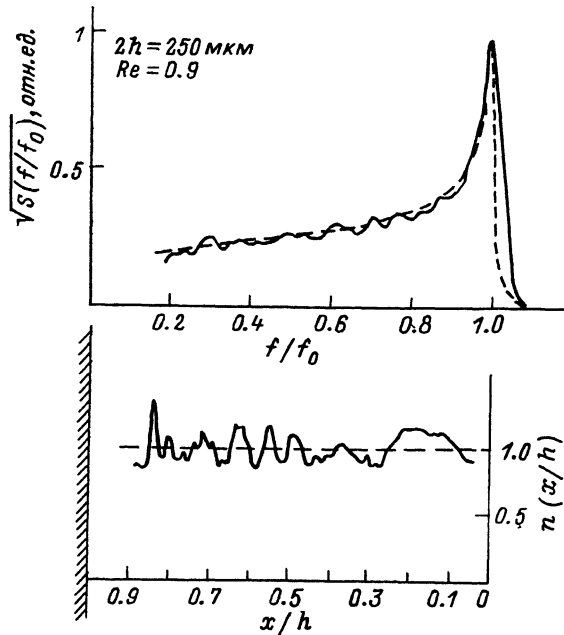


Рис. 1. Интегральный доплеровский спектр одномерного пуазейлевского течения в плоском канале шириной $2h = 250$ мкм. Пунктир – рассчитанный спектр. Граничная частота $f_0 = \frac{q_z v_0}{2\pi}$; x – расстояние от середины канала.

На рис. 1 приведен типичный интегральный доплеровский спектр одномерного пуазейлевского течения разбавленной суспензии латекса в плоском канале шириной $2h = 250$ мкм при $Re = 0.9$ (количество усреднений 3072). Пунктиром показан спектр, рассчитанный по формуле (1) при $n(x, y) = 1$ и $\gamma = 0.004 q_z v_0$ с учетом реальной освещенности канала в условиях эксперимента. Внизу показан профиль концентрации латексных частиц, рассчитанный с целью контроля исходного допущения об однородности их распределения путем деления экспериментального спектра на теоретический и учета соотношения $x = h \sqrt{1 - \frac{\omega}{q_z v_0}}$. Тангенс угла наклона пунктирной прямой, проведенной методом наименьших квадратов, составляет $0.5 \cdot 10^{-2}$. Аналогичное соответствие измеренных и рассчитанных спектров получено и для пуазейлевского течения в круглом канале (внутренний диаметр $2r_0 = 476$ мкм, $Re = 1.8$). Проведенные измерения доказывают осуществимость интегральной доплеровской анемометрии и возможность ее использования для определения профиля скоростей течения. В простейших случаях, при $\gamma \ll q_z v_0$, этот профиль, как пока-

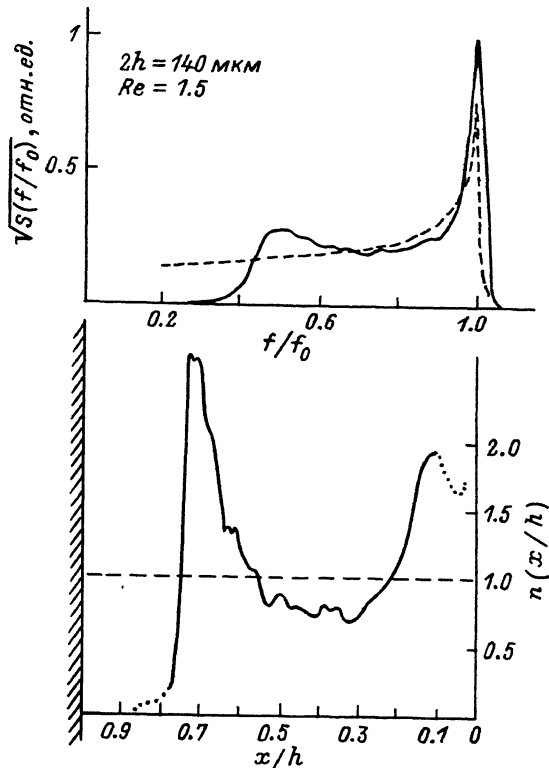


Рис. 2. Профиль концентрации эритроцитов в потоке в плоском канале шириной $2h = 140$ мкм, полученный методом ИДА.

зывает (2), можно получить исходя из интегрирования измеренной в эксперименте функции $S(\omega)$.

Рис. 2 демонстрирует вторую из указанных возможностей ИДА — измерения профиля концентрации частиц в потоке. Сплошной линией показан интегральный доплеровский спектр, измеренный для ламинарного течения суспензии эритроцитов в плоском канале шириной 140 мкм при $Re = 1.5$. Пунктиром показан собственный спектр доплеровских частот пуазейлевского течения в канале, полученный в режиме измерения профиля скоростей. Внизу приведен нормированный на единицу поперечный профиль концентрации эритроцитов в потоке, $n(\frac{x}{h})$, рассчитанный из отношения этих спектров. Максимум концентрации соответствует $|x| = (0.72 \pm 0.02)h$. Аналогичные эффекты — обеднение пристенного слоя и возникновение внеосевого максимума концентрации на расстоянии $r = (0.76 \pm 0.01)r_0$ — зарегистрированы методом ИДА и для течения суспензии эритроцитов в круглом

капилляре с $2r_0 = 154$ мкм. Эффекты поперечного перераспределения в потоке достаточно крупных в масштабе канала частиц наблюдались и ранее [4]. Однако их регистрация традиционными методами чрезвычайно длительна и трудоемка, что затруднило детальные исследования. В методе ИДА спектр, напротив, регистрируется всего за несколько десятков секунд. Это дает также и дополнительную возможность – исследования динамики профилей концентраций и скоростей.

Авторы признательны С.Н. Семенову за плодотворные обсуждения.

Л и т е р а т у р а

- [1] Д у б н и щ е в Ю.Н., Р и н к е в и ч ю с Б.С. Методы лазерной доплеровской анемометрии. М.: Наука, 1982. 303 с.
- [2] К о н о н е н к о В.Л., С е м е н о в С.Н. – Журнал физической химии, 1986, т. 60, с. 2553–2556.
- [3] С е м е н о в С.Н., К о н о н е н к о В.Л. – Журнал физической химии, 1986, т. 60, с. 3117–3118.
- [4] S e g r e G., S i l b e r b e r g A. – J. of Fluid Mechanics, 1962, v. 14, p. 115–157.

Поступило в Редакцию
18 июля 1988 г.

Письма в ЖТФ, том 14, вып. 22

22 ноября 1988 г.

ТЕКСТУРИРОВАННЫЕ СВЕРХПРОВОДЯЩИЕ $Y-Ba-Cu-O$ ПЛЕНКИ НА ПОДЛОЖКАХ ИЗ САПФИРА

Ю.Д. В а р п а м о в, В.Ф. В р а ц к и х,
М.Р. П р е д т е ч е н с к и й, А.И. Р ы к о в,
А.В. Т у р б и н

Известно, что наибольшие значения плотности критического тока $J_c = 10^6$ А/см² пленочных высокотемпературных сверхпроводников (ВТСП) достигнуты при использовании монокристаллических подложек из $SrTiO_3$ [1]. Однако этот материал имеет относительно высокую диэлектрическую проницаемость, что накладывает ограничения на исследование и использование пленочных ВТСП, приготовленных на подложках из $SrTiO_3$. Проблема получения пленочных ВТСП на подложках из сапфира – материала, имеющего низкое значение диэлектрической проницаемости и широко распространенного в микроэлектронике, обусловлена взаимодиффузией материала пленки и подложки в процессе синтеза [2]. Тем не менее в работе [3] достигнуто значение $J_c = 2800$ А/см² при 78 К, что указывает на возмож-